



7ª CONFERÊNCIA BRASILEIRA
DE CÂNCER DE MAMA

Projeto Amazona: Desfechos Clínicos de Pacientes Públicos e Privados

Sergio D. Simon
GBECAM

Pedro E. R. Liedke

Grupo Brasileiro de Estudos do Câncer de Mama;
Serviço de Oncologia do Hospital de Clínicas de Porto Alegre;
Instituto do Câncer Mãe de Deus;
Porto Alegre, RS



Declaração de Conflito de Interesses



- Declaro não haver conflito de interesses



Introdução

- Projeto Amazona
- Análise Tipo de Instituição
- Análise Por Seguro Saúde



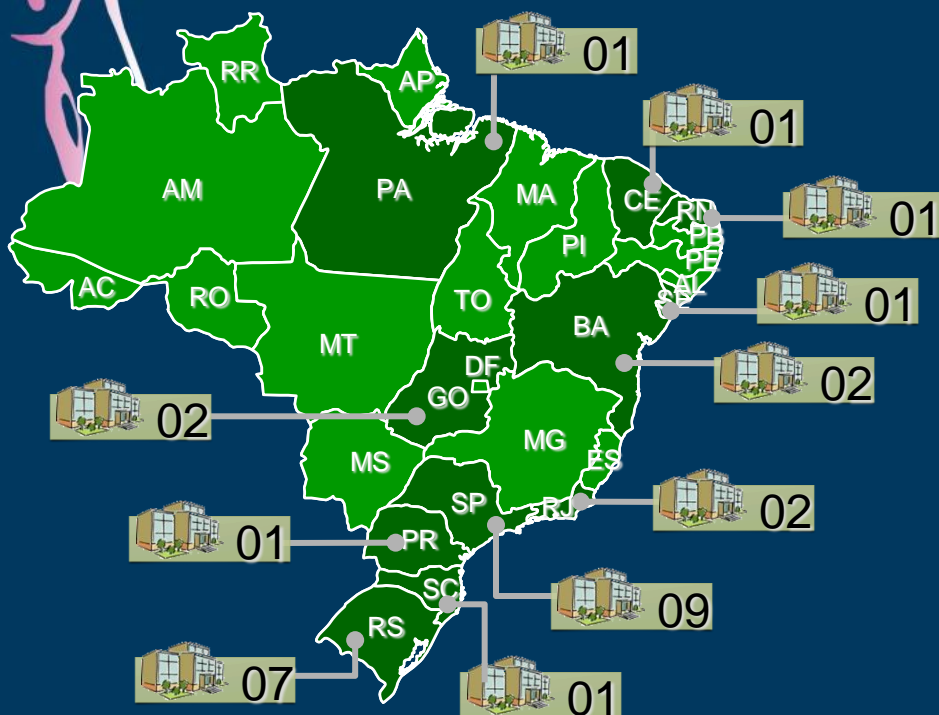
Introdução

- Projeto Amazona
- Análise Tipo de Instituição
- Análise Por Seguro Saúde

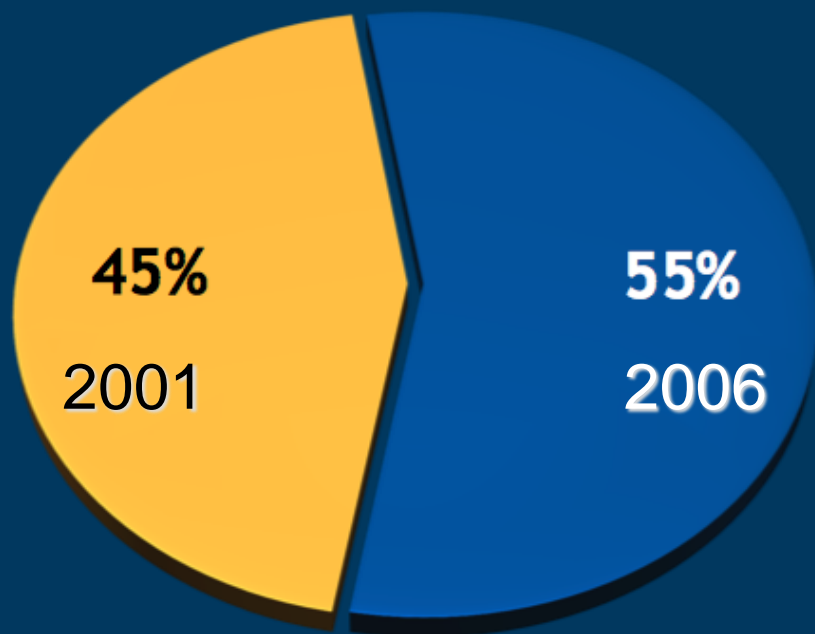
Projeto Amazona: Coorte retrospectivo de ~5000 pacientes Brasileiras com Câncer de Mama

28 Centros

11 Estados



4.912 pacientes (100%)

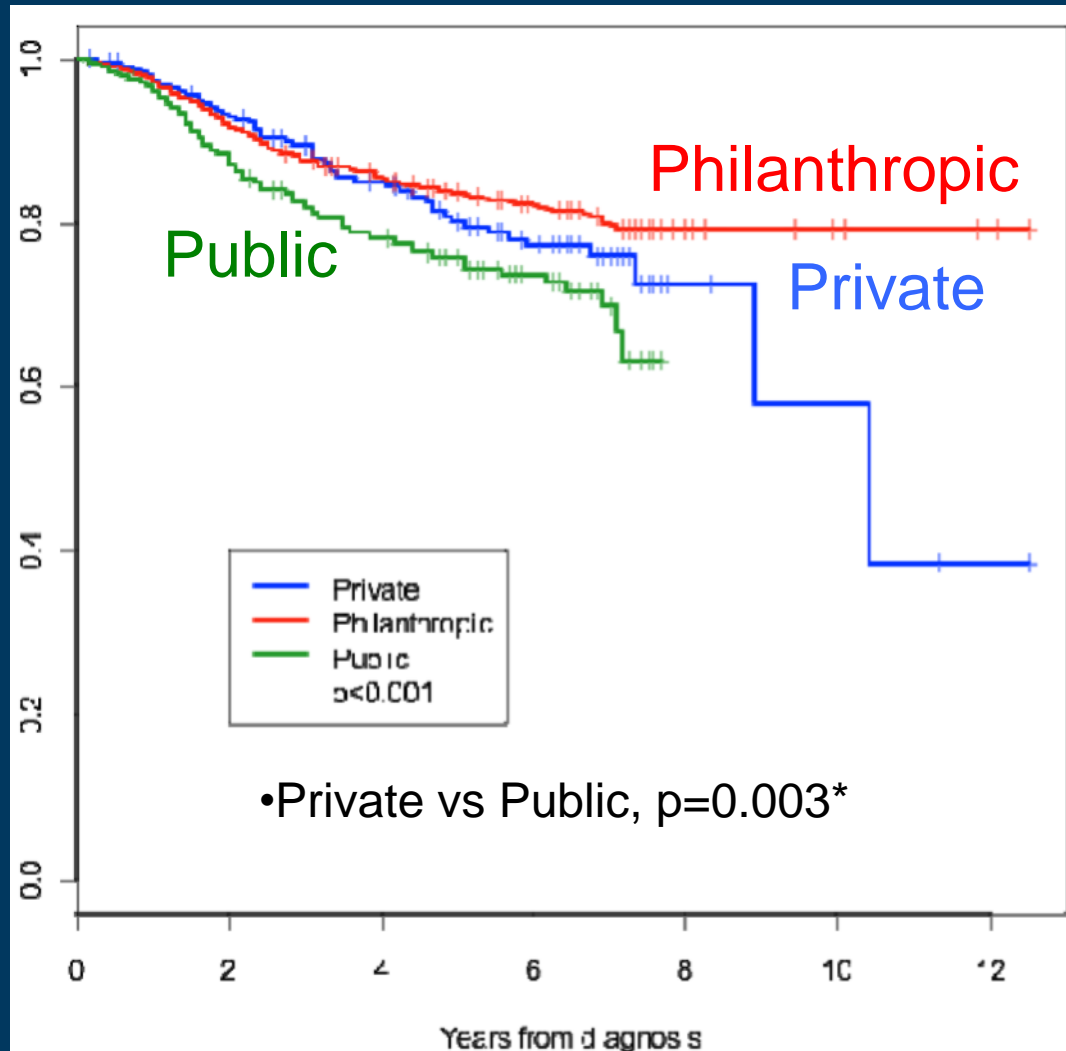




Introdução

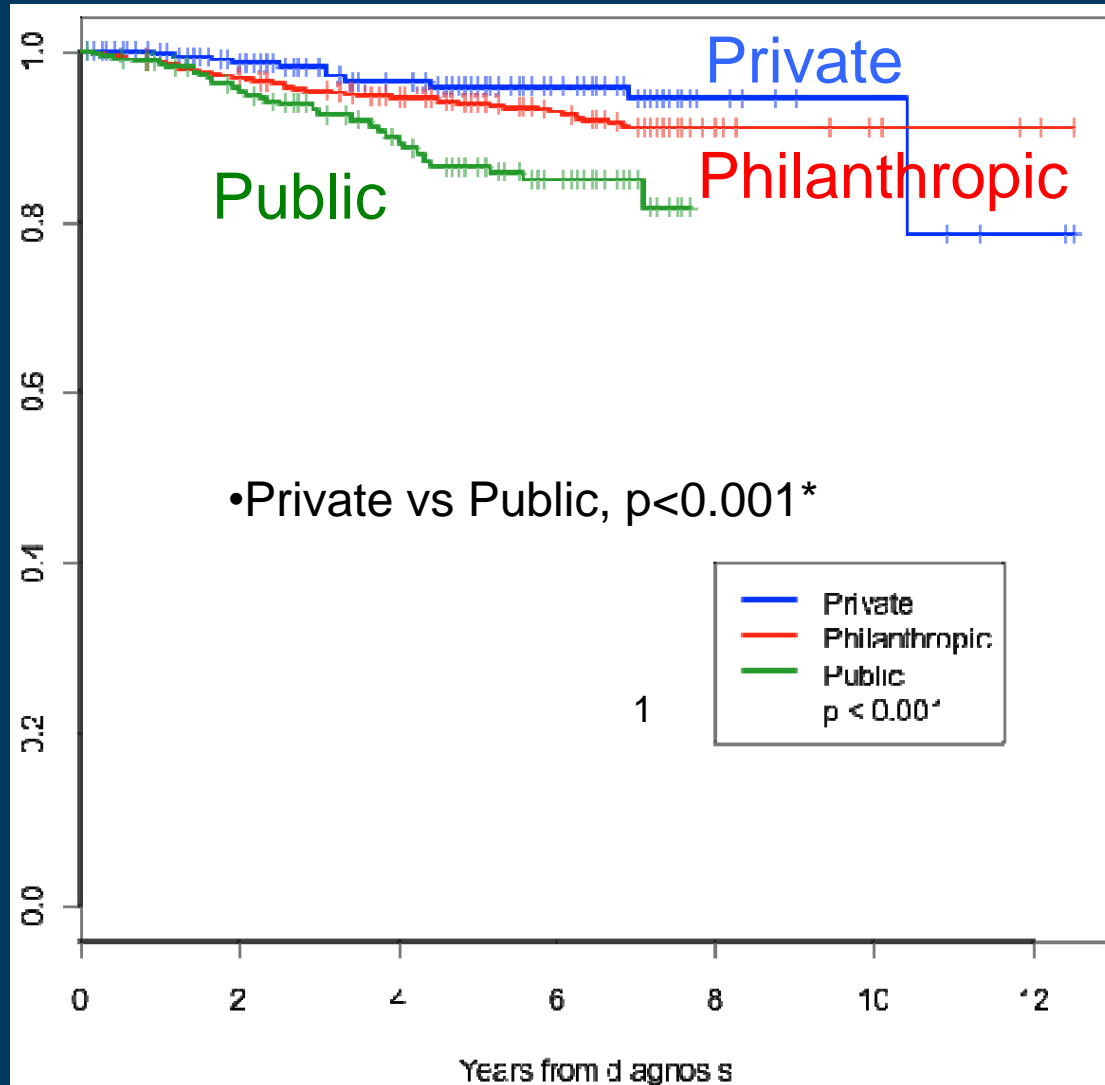
- Projeto Amazonia
- Análise Tipo de Instituição
- Análise Por Seguro Saúde

Sobrevida Livre de Progressão Pior em Paciente de Instituições Públicas



*matched by age, T-stage, N-stage and registration year

Sobrevida Global Pior em Pacientes de Instituições Públicas



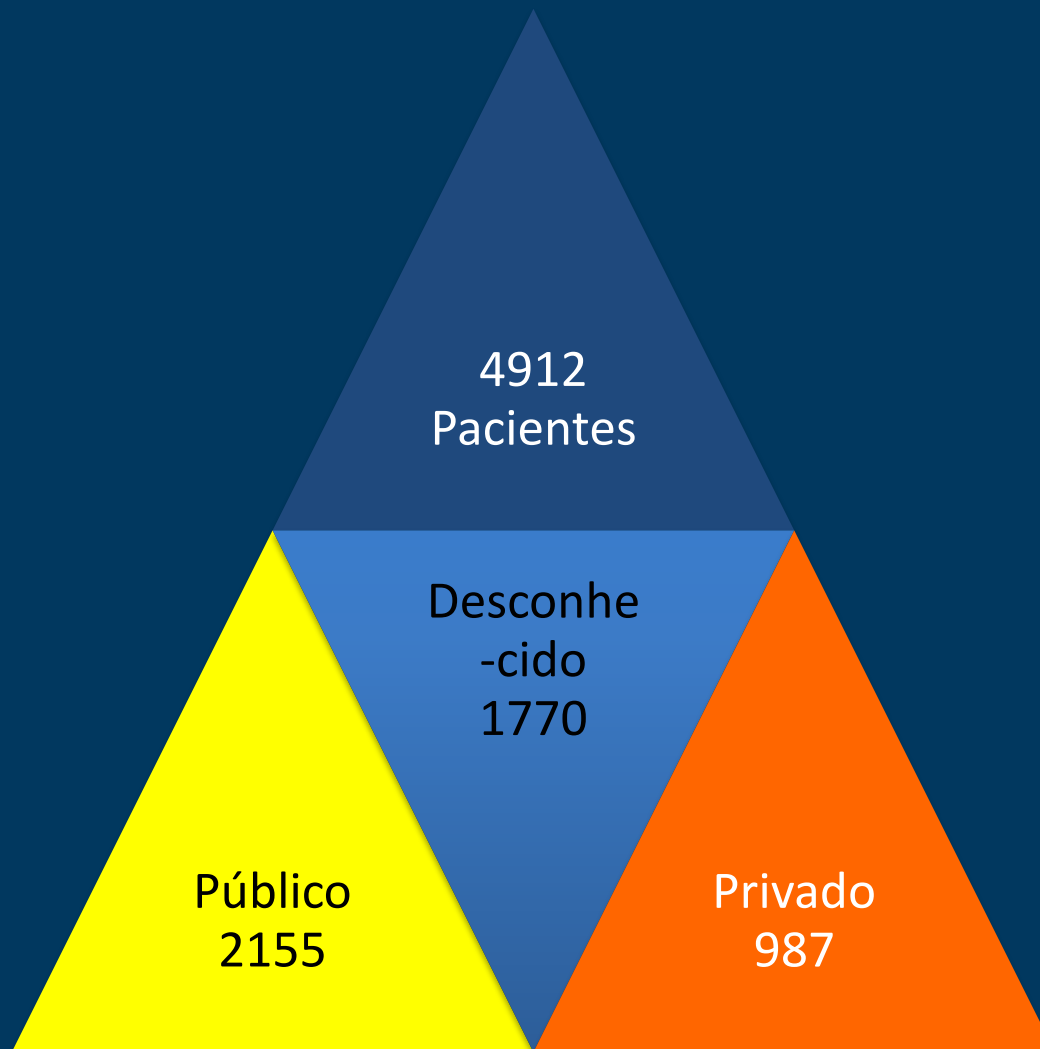
*matched by age, T-stage, N-stage and registration year



Introdução

- Projeto Amazonia
- Análise Tipo de Instituição
- Análise Por Seguro Saúde

Análise Por Seguro Saúde



Análise Por Seguro Saúde

| | Número (%) |
|---------|-------------|
| Público | 2155 (69%) |
| Privado | 987 (31%) |
| Todos | 3142 (100%) |




Características das Pacientes

| | Público, % | Privado, % | Valor P |
|--------------------------|------------|------------|---------|
| Etnia | | | <0.001 |
| Branças | 55 | 75 | |
| Negras | 3 | 4 | |
| Asiáticas | 0 | 0 | |
| Mulatas (parda) | 42 | 21 | |
| Estado Menopausal | | | 0.614 |
| Pré Menopausicas | 63 | 61 | |
| Pós Menopausicas | 38 | 39 | |



Características das Pacientes



| | Público, % | Privado, % | Valor P |
|---------------------------------------|------------|------------|---------|
| Estadio Clínico no Diagnóstico | | | <0.001 |
| 0-I | 15 | 33 | |
| IIA | 29 | 29 | |
| IIB | 19 | 18 | |
| III | 33 | 16 | |
| IV | 6 | 4 | |



Características das Pacientes

| | Público, % | Privado, % | Valor P |
|---------------------------------------|------------|------------|---------|
| Estadio Clínico no Diagnóstico | | | <0.001 |
| 0-I | 15 | 33 | |
| IIA | 29 | 29 | |
| IIB | 19 | 18 | |
| III | 33 | 16 | |
| IV | 6 | 4 | |



Características das Pacientes

| | Público, % | Privado, % | Valor P |
|---------------------------------------|------------|------------|---------|
| Estadio Clínico no Diagnóstico | | | <0.001 |
| 0-I | 15 | 33 | |
| IIA | 29 | 29 | |
| IIB | 19 | 18 | |
| III | 33 | 16 | |
| IV | 6 | 4 | |





Características das Pacientes

| | Público, % | Privado, % | Valor P |
|--|-------------------|-------------------|----------------|
| Receptores Hormonais (ER e/ou PR) | | | 0.751 |
| Positivo | 62 | 62 | |
| Negativo | 38 | 38 | |
| Her2* (n=1797) | 54 | 65 | |
| Positivo | 10 | 17 | 0.905 |
| Negativo | 38 | 62 | |
| Desc. /não testado | 52 | 21 | <0.001 |

*Somente inclui pacientes diagnosticados em 2006



Características das Pacientes

| | Público, % | Privado, % | Valor P |
|--|-------------------|-------------------|----------------|
| Receptores Hormonais (ER e/ou PR) | | | 0.751 |
| Positivo | 62 | 62 | |
| Negativo | 38 | 38 | |
| Her2* (n=1797) | 54 | 65 | |
| Positivo | 10 | 17 | 0.905 |
| Negativo | 38 | 62 | |
| Desc. /não testado | 52 | 21 | <0.001 |

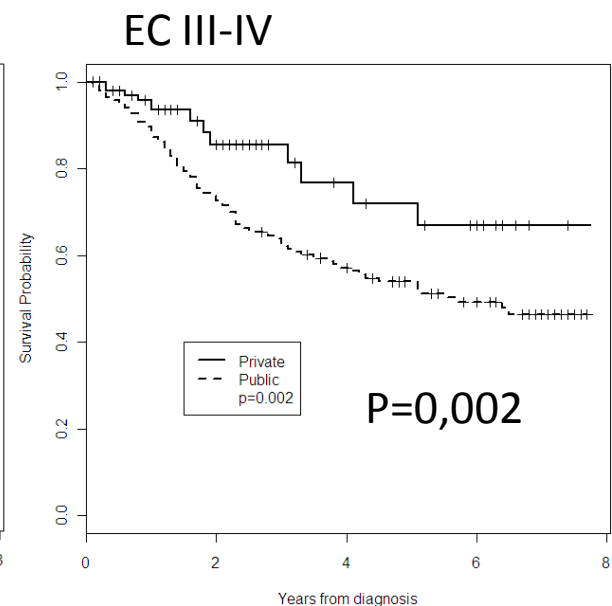
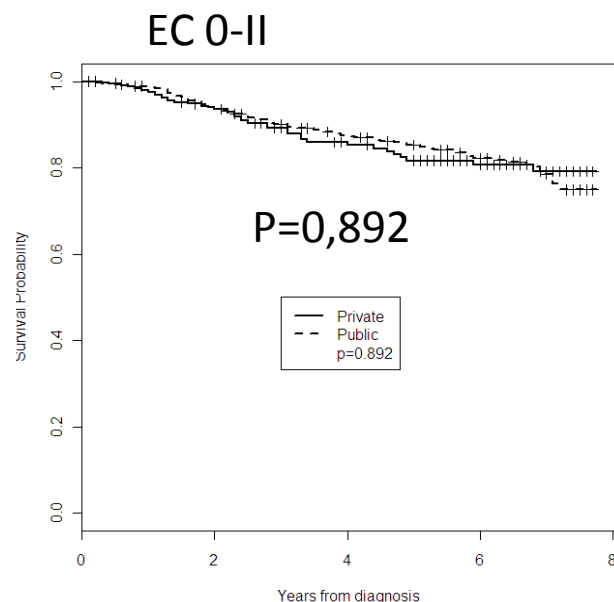
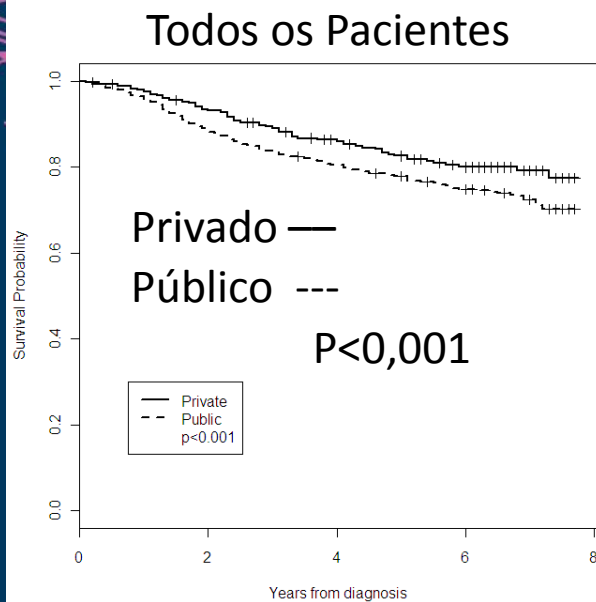
*Somente inclui pacientes diagnosticados em 2006







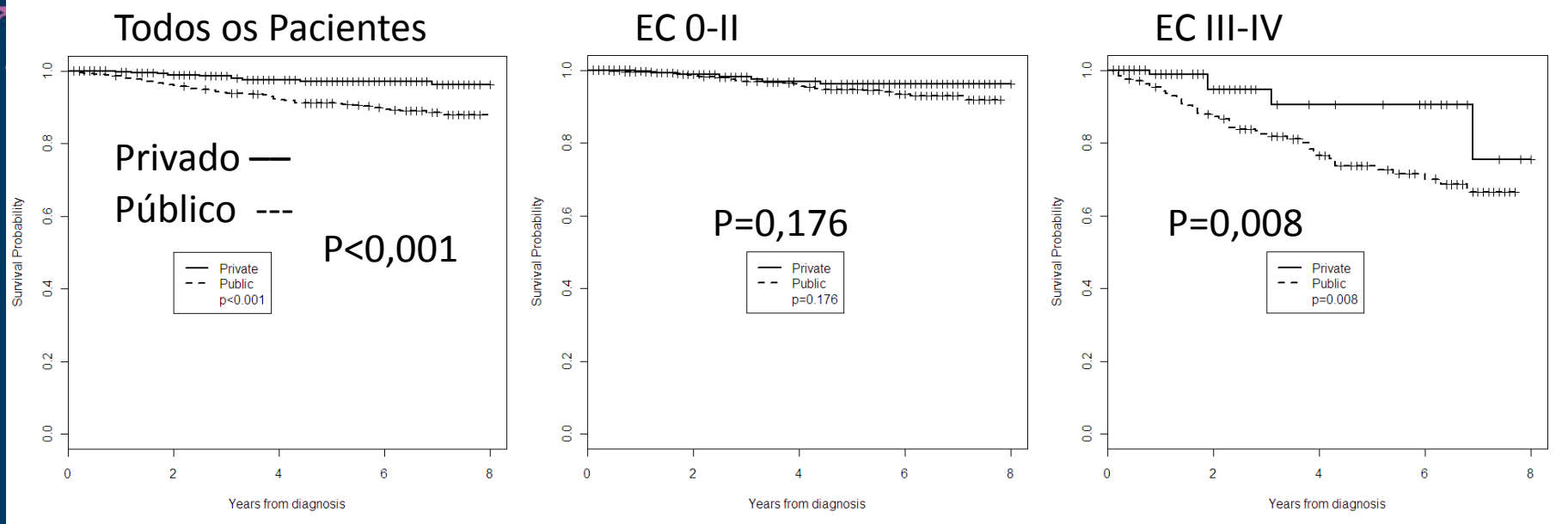
Sobrevida Livre de Progressão



Seguimento mediano 28 meses



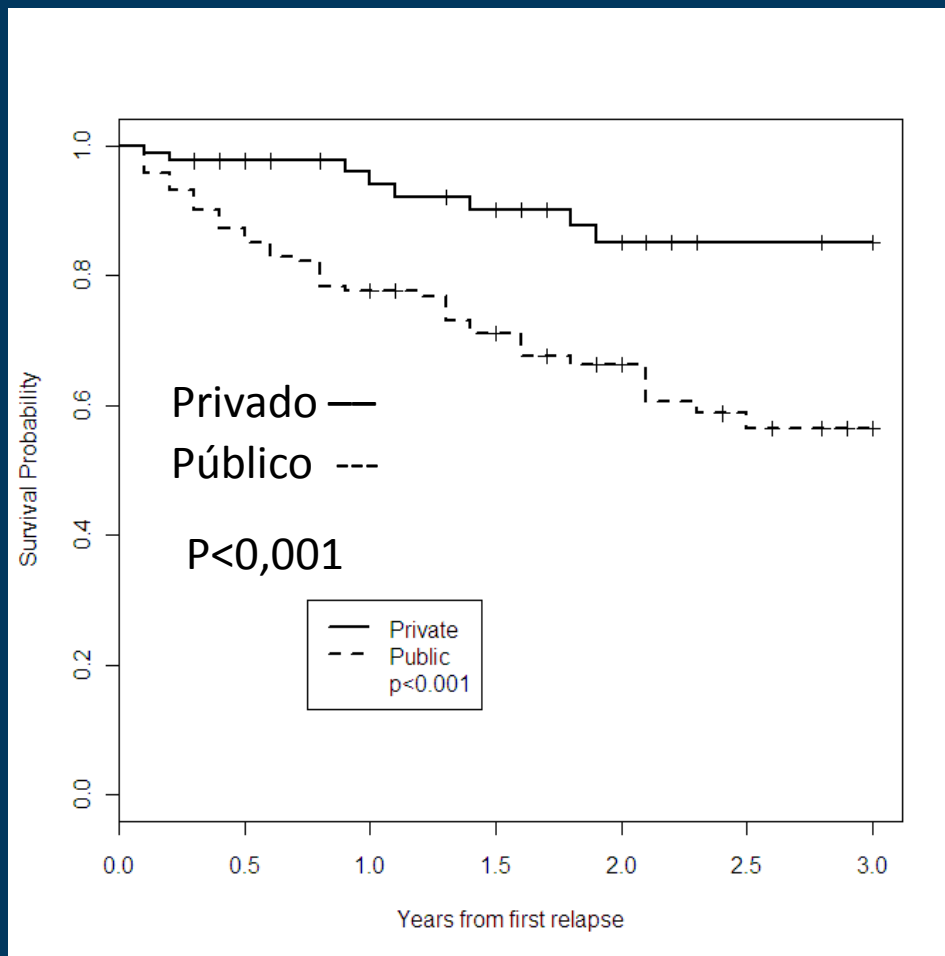
Sobrevida Global



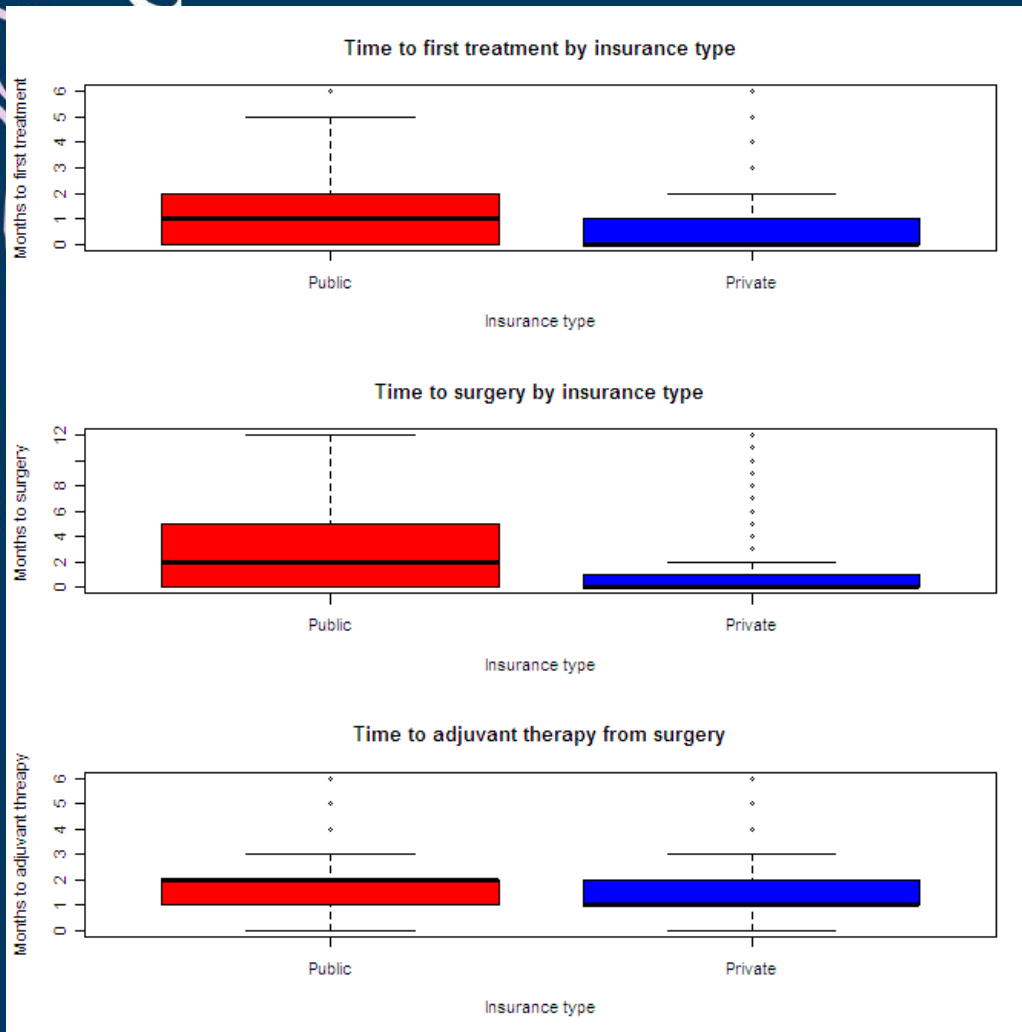
Seguimento mediano 28 meses



Sobrevida Após Recidiva



Tempo do Dx → Tratamento



Tempo para primeiro tratamento:
Público 1 mês
Privado < 1 mês
P<0,001

Tempo para Cirurgia:
Público 2 meses
Privado < 1 mês
P<0,001

Tempo para QT Adjuvante:
Público 2 meses
Privado < 1 mês
P<0,001



Análise Multivariada Regressão de Cox

| | Disease-free survival Hazard Ratio (95% CI); P-value | Overall survival Hazard Ratio (95% CI); P-value | Post-relapse survival Hazard Ratio (95% CI); P-value |
|--|--|---|--|
| Private insurance | 0.87 (0.65-1.16); 0.332 | 0.53 (0.28-1.01); 0.052 | 0.55 (0.41, 0.75); <0.001 |
| Age (years scaled by 0.1) | 0.94 (0.86-1.03); 0.185 | 1.14 (0.97-1.34); 0.116 | 1.08 (0.99, 1.17); 0.080 |
| Race: black or mixed | 0.82 (0.65-1.04); 0.104 | 0.92 (0.61-1.39); 0.699 | 0.88 (0.70, 1.10); 0.253 |
| Hormone receptor positivity | 0.42 (0.34-0.53); <0.001 | 0.21 (0.13-0.33); <0.001 | 0.63 (0.50, 0.78); <0.001 |
| T-stage 4 at diagnosis | 2.46 (1.88-3.21); <0.001 | 3.04 (1.96-4.72); <0.001 | NA |
| N-stage 0 at diagnosis | 0.45 (0.35-0.58); <0.001 | 0.29 (0.17-0.48); <0.001 | NA |
| Locoregional recurrence | NA | NA | 0.74 (0.58, 0.94); |

Análise Multivariada Regressão de Cox

| | Disease-free survival Hazard Ratio (95% CI); P-value | Overall survival Hazard Ratio (95% CI); P-value | Post-relapse survival Hazard Ratio (95% CI); P-value |
|--|--|---|--|
| Private insurance | 0.87 (0.65-1.16); 0.332 | 0.53 (0.28-1.01); 0.052 | 0.55 (0.41, 0.75); <0.001 |
| Age (years scaled by 0.1) | 0.94 (0.86-1.03); 0.185 | 1.14 (0.97-1.34); 0.116 | 1.08 (0.99, 1.17); 0.080 |
| Race: black or mixed | 0.82 (0.65-1.04); 0.104 | 0.92 (0.61-1.39); 0.699 | 0.88 (0.70, 1.10); 0.253 |
| Hormone receptor positivity | 0.42 (0.34-0.53); <0.001 | 0.21 (0.13-0.33); <0.001 | 0.63 (0.50, 0.78); <0.001 |
| T-stage 4 at diagnosis | 2.46 (1.88-3.21); <0.001 | 3.04 (1.96-4.72); <0.001 | NA |
| N-stage 0 at diagnosis | 0.45 (0.35-0.58); <0.001 | 0.29 (0.17-0.48); <0.001 | NA |
| Locoregional recurrence | NA | NA | 0.74 (0.58, 0.94); |

Análise Multivariada Regressão de Cox

| | Disease-free survival Hazard Ratio (95% CI); P-value | Overall survival Hazard Ratio (95% CI); P-value | Post-relapse survival Hazard Ratio (95% CI); P-value |
|--|--|---|--|
| Private insurance | 0.87 (0.65-1.16); 0.332 | 0.53 (0.28-1.01); 0.052 | 0.55 (0.41, 0.75); <0.001 |
| Age (years scaled by 0.1) | 0.94 (0.86-1.03); 0.185 | 1.14 (0.97-1.34); 0.116 | 1.08 (0.99, 1.17); 0.080 |
| Race: black or mixed | 0.82 (0.65-1.04); 0.104 | 0.92 (0.61-1.39); 0.699 | 0.88 (0.70, 1.10); 0.253 |
| Hormone receptor positivity | 0.42 (0.34-0.53); <0.001 | 0.21 (0.13-0.33); <0.001 | 0.63 (0.50, 0.78); <0.001 |
| T-stage 4 at diagnosis | 2.46 (1.88-3.21); <0.001 | 3.04 (1.96-4.72); <0.001 | NA |
| N-stage 0 at diagnosis | 0.45 (0.35-0.58); <0.001 | 0.29 (0.17-0.48); <0.001 | NA |
| Locoregional recurrence | NA | NA | 0.74 (0.58, 0.94); |

Análise Multivariada Regressão de Cox

| | Disease-free survival Hazard Ratio (95% CI); P-value | Overall survival Hazard Ratio (95% CI); P-value | Post-relapse survival Hazard Ratio (95% CI); P-value |
|--|--|---|--|
| Private insurance | 0.87 (0.65-1.16); 0.332 | 0.53 (0.28-1.01); 0.052 | 0.55 (0.41, 0.75); <0.001 |
| Age (years scaled by 0.1) | 0.94 (0.86-1.03); 0.185 | 1.14 (0.97-1.34); 0.116 | 1.08 (0.99, 1.17); 0.080 |
| Race: black or mixed | 0.82 (0.65-1.04); 0.104 | 0.92 (0.61-1.39); 0.699 | 0.88 (0.70, 1.10); 0.253 |
| Hormone receptor positivity | 0.42 (0.34-0.53); <0.001 | 0.21 (0.13-0.33); <0.001 | 0.63 (0.50, 0.78); <0.001 |
| T-stage 4 at diagnosis | 2.46 (1.88-3.21); <0.001 | 3.04 (1.96-4.72); <0.001 | NA |
| N-stage 0 at diagnosis | 0.45 (0.35-0.58); <0.001 | 0.29 (0.17-0.48); <0.001 | NA |
| Locoregional recurrence | NA | NA | 0.74 (0.58, 0.94); |

Análise Multivariada Regressão de Cox

| | Disease-free survival Hazard Ratio (95% CI); P-value | Overall survival Hazard Ratio (95% CI); P-value | Post-relapse survival Hazard Ratio (95% CI); P-value |
|--|--|---|--|
| Private insurance | 0.87 (0.65-1.16); 0.332 | 0.53 (0.28-1.01); 0.052 | 0.55 (0.41, 0.75); <0.001 |
| Age (years scaled by 0.1) | 0.94 (0.86-1.03); 0.185 | 1.14 (0.97-1.34); 0.116 | 1.08 (0.99, 1.17); 0.080 |
| Race: black or mixed | 0.82 (0.65-1.04); 0.104 | 0.92 (0.61-1.39); 0.699 | 0.88 (0.70, 1.10); 0.253 |
| Hormone receptor positivity | 0.42 (0.34-0.53); <0.001 | 0.21 (0.13-0.33); <0.001 | 0.63 (0.50, 0.78); <0.001 |
| T-stage 4 at diagnosis | 2.46 (1.88-3.21); <0.001 | 3.04 (1.96-4.72); <0.001 | NA |
| N-stage 0 at diagnosis | 0.45 (0.35-0.58); <0.001 | 0.29 (0.17-0.48); <0.001 | NA |
| Locoregional recurrence | NA | NA | 0.74 (0.58, 0.94); |

Resultados

Pacientes Públicos vs. Privados:

- Apresentam doença mais avançada ao diagnóstico
- apresentam maiores taxas de mastectomia e menores de cirurgia conservadora
- apresentam menores taxas de realização de linfonodo sentinela e maiores de esvaziamento axilar



Resultados

Pacientes Públicos vs. Privados:

- Significativamente recebem mais quimioterapia e menos trastuzumabe
- Sem diferença em terapia hormonal e radioterapia



Resultados

Pacientes Públicos vs. Privados:

- Sobrevida livre de progressão é menor ($p < 0.001$)
- Sobrevida global é menor ($p < 0.001$)
- Sobrevida após a primeira progressão é menor ($p < 0.001$)
- Regressão de Cox sugere que piores desfechos podem ser pelo estadio avançado ao diagnóstico e não pelo tipo de assistência



Limitações

Pacientes Públicos vs. Privados:

- Não foi possível estabelecer impacto dos diferentes regimes de quimioterapia e hormonioterapia utilizados
- Centros Públicos são referências nacionais
- Status HER2 desconhecido em >50% pacientes públicas e 20% das privadas
- Tempo de seguimento curto



Conclusões



- Há importante disparidade no acesso ao diagnóstico precoce entre saúde pública e privada
- Há importante disparidade entre modalidades de tratamento
- Doença mais avançada parece explicar pior sobrevida nesta coorte
- Sobrevida após progressão é pior para pacientes públicas

Conclusões



- É necessário um esforço para melhorar o diagnóstico precoce de Câncer de Mama em mulheres dependentes de assistência pública

Agradecimento



Sergio D. Simon*
Carlos H. Barrios
José Bines
Cláudia Vasconcelos

Paul E. Goss*
Dianne Finkelstein
Jackie Szymonifka
Yanin Chavarri-Guerra

*Co-autores Sênior



João Soares Nunes

Ercio Ferreira Gomes

Fernando Chalu Pacheco

Andréa J. S. Gomes

José Getúlio Segalla

Susanne Crocamo

Daniel Luiz Gimenes

Brigitte Marie H. R. Adam Van Eyll

Geraldo Silva Queiroz

Giuliano Santos Borges

Lissandra Dal Lago

Ruffo de Freitas Jr.

Sérgio Jobim de Azevedo

Carlos A. Sampaio P. Filho

Gilson Luchezi Delgado

Daniela Dornelles Rosa

Yeni Verônica N. do Nascimento

Nivaldo Farias Vieira

Hélio Pinczowski

Martha Reinisch Perdicaris

Clarissa Mathias

Jéferson José da Fonseca Vinholes

Manuela Zereu

Elicie Lins Svirski

Jorge Sabbaga